

МАТЕМАТИЧЕСКОЕ МОДЕЛИРОВАНИЕ ЗАКРУЧЕННОГО ПОТОКА В КАНАЛЕ С БОКОВЫМ ПОДВОДОМ РАБОЧЕГО ТЕЛА

Е. В. Голикова, Е. Н. Коржов, Т. В. Требунских, А. И. Шашкин

*Воронежский государственный университет
ОАО КБХИмавтоматики*

Предложена математическая модель для описания турбулентного течения закрученного потока в канале с боковым подводом рабочего тела, основанная на $k - \varepsilon$ модели турбулентности и методе контрольных объемов. Проведено численное исследование указанного типа течения. Установлены некоторые закономерности и особенности потока, которые могут быть использованы для разработки методов расчета и проектирования смесительных устройств.

Закрученный поток — один из наиболее распространенных типов течения. Его специфические свойства используются во многих технических приложениях. Подобный тип течения характеризуется специфическими принципиально отличающимися его от осевого потока свойствами: соизмеримые значения осевой, радиальной и вращательной составляющими скорости, продольным и поперечным градиентами статического и полного давлений, значительными градиентами скорости в поперечном направлении, высоким уровнем турбулентных пульсаций и т.д. [1]. Для оптимизации работы устройств с закруткой потока необходимо обладать информацией об особенностях течения внутри канала.

Потоки с вращением характеризуются сложной структурой течения [2], поэтому их моделирование является нетривиальной задачей. Во многих исследованиях закрученного потока в каналах течение принимается симметричным, закрутка на входе задается с помощью различного рода завихрителей или по закону твердого тела [3–6]. Однако в технических приложениях (например, в смесительных устройствах или форсунках [1]) закрутка нередко осуществляется боковым подводом среды, что меняет характер течения. Кроме того, экспериментальное исследование, представленное в [2], показывает, что затухание закрутки по длине канала приводит к резкому росту турбулентной энергии и дальнейшему асимметричному развитию потока. В связи с этим построение модели в предположении, например, об осемимметричности не позволит получить полную детальную ин-

формацию о характере течения. Необходимо моделирование, способное с высокой степенью достоверности предсказывать поведение закрученного потока.

Результаты моделирования течения с закруткой потока с использованием классических моделей, основанных на осредненных по Рейнольдсу уравнениях движения (RANS), и их модификаций представлены в ряде исследований, показавших удовлетворительное соответствие с экспериментальными данными или результатами прямого численного моделирования [7].

Рассматривается течение закрученного потока вязкой несжимаемой жидкости в круглом цилиндрическом канале с внезапным сужением с боковыми входными каналами (рис. 1а). Гидросистема образована двумя основными участками: прямая цилиндрическая труба диаметром D_0 , длиной L_0 и цилиндрическая труба диаметром D_1 , длиной L_1 . Общая длина канала L . Жидкость поступает в канал через шесть тангенциальных подводящих каналов диаметром d и длиной l . В процессе течения температура не изменяется, остается равной температуре на входе.

Система уравнений, описывающая стационарное турбулентное течение несжимаемой вязкой жидкости включает уравнения движения и уравнение неразрывности [8]:

$$\begin{aligned} \rho \operatorname{div}(V_1 V) &= -\frac{\partial P}{\partial x_1} + \operatorname{div}((\mu + \mu_t) \operatorname{grad} V_1), \\ \rho \operatorname{div}(V_2 V) &= -\frac{\partial P}{\partial x_2} + \operatorname{div}((\mu + \mu_t) \operatorname{grad} V_2), \quad (1) \\ \rho \operatorname{div}(V_3 V) &= -\frac{\partial P}{\partial x_3} + \operatorname{div}((\mu + \mu_t) \operatorname{grad} V_3), \end{aligned}$$

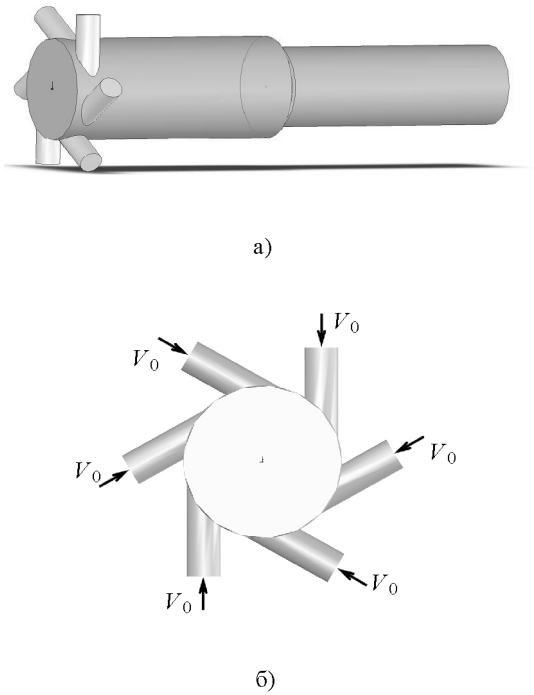


Рис. 1. Канал с боковыми входными отверстиями: а — общий вид, б — скорость на входе

$$\operatorname{div} V = 0, \quad (2)$$

где V — осредненный по времени вектор скорости, V_i — компоненты вектора скорости V ; P — осредненное относительное давление; ρ , μ — плотность, динамическая вязкость, μ_t — турбулентная вязкость.

Для замыкания системы уравнений, описывающей поток с закруткой, может быть использована стандартная $k - \varepsilon$ модель турбулентности [3, 4, 7]. Коэффициент турбулентной вязкости μ_t в $k - \varepsilon$ модели рассчитывается с применением уравнения переноса для кинетической энергии турбулентных пульсаций $k = \langle v_i'^2 \rangle / 2$ и скорости диссипации турбулентной энергии $\varepsilon = \nu \langle (\partial v_i' / \partial x_j)^2 \rangle$, где v_i' — пульсационные составляющие вектора скорости, $\nu = \mu / \rho$ — кинематический коэффициент вязкости. При расчетах распределения осредненных скоростей μ_t можно считать скалярной величиной и для его определения использовать соотношение [4]

$$\mu_t = C_\mu \rho k^2 / \varepsilon. \quad (3)$$

C_μ — безразмерная константа, ее значение определено ниже.

Уравнения переноса величин k и ε записываются в виде [9]

$$\rho \operatorname{div} (kV) = \operatorname{div} \left(\left(\mu + \frac{\mu_t}{\sigma_k} \right) \operatorname{grad} k \right) + 2\mu_t E_{ij} \cdot E_{ij} - \rho \varepsilon, \quad (4)$$

$$\rho \operatorname{div} (\varepsilon V) = \operatorname{div} \left(\left(\mu + \frac{\mu_t}{\sigma_\varepsilon} \right) \operatorname{grad} \varepsilon \right) + C_1 \frac{\varepsilon}{k} 2\mu_t E_{ij} \cdot E_{ij} - C_2 \rho \frac{\varepsilon^2}{k}, \quad (5)$$

где $E_{ij} = 1/2(\partial V_i / \partial x_j + \partial V_j / \partial x_i)$, $E_{ii} = \partial V_i / \partial x_i$. Уравнения содержат пять констант σ_k , σ_ε , C_1 , C_2 , C_μ — параметры модели, которые предполагают различные значения в зависимости от приложений [3, 7]. Стандартная $k - \varepsilon$ модель использует значения $\sigma_k = 1$, $\sigma_\varepsilon = 1.3$, $C_1 = 1.44$, $C_2 = 1.92$, $C_\mu = 0.09$, выведенные всесторонним исследованием данных для широкого диапазона турбулентных потоков [4, 9].

Очевидно, закрученным течениям присуще значительное искривление линий тока, что приводит к проявлению анизотропии [7]. Стандартная $k - \varepsilon$ модель строится в предположении об изотропном характере турбулентности, поэтому в расчетах вращающихся потоков с применением данной модели возрастает вероятность получения неточных результатов. В [7] для учета анизотропии турбулентности было предложено число Ричардсона Ri , характеризующее меру дополнительных турбулентных напряжений, обусловленных искривлением линии тока. Число Ричардсона вводится в выражение для коэффициента C_2 , чем корректируется диссипативный член в уравнении переноса для скорости диссипации ε . Для течения с закруткой предложено

$$C_2 = 1.92 \exp(2\alpha_w Ri_g + 2\alpha_c Ri_c),$$

где $\alpha_w = -0.75$, $\alpha_c = -2.0$ — эмпирические константы. Ri_g — градиентное число Ричардсона, Ri_c — число Ричардсона кривизны:

$$Ri_c = \frac{\sqrt{V_z^2 + V_r^2}}{R_c \left[\frac{1}{r} \frac{\partial}{\partial r} (rV_z) + \frac{\partial V_r}{\partial z} \right]},$$

$$Ri_g = \frac{2 \frac{V_\theta}{r^2} \frac{\partial}{\partial r} (rV_\theta)}{\left(\frac{\partial V_z}{\partial r} \right)^2 + \left(\frac{\partial V_\theta}{\partial r} \right)^2},$$

$$R_c = \frac{(V_z^2 + V_r^2)^{3/2}}{V_z V_r \left[\frac{1}{r} \frac{\partial}{\partial r} (rV_z) - \frac{\partial V_z}{\partial z} \right]},$$

где R_c — радиус кривизны линии тока.

Коррекцию коэффициента C_2 рекомендуется проводить в областях, где искривление линий тока значительно. В качестве критерия используется число Ri_c :

$$\begin{aligned} \text{при } Ri_c \geq 0.2 \quad C_2 &= 1.92 \exp(2\alpha_w Ri_g + 2\alpha_c Ri_c); \\ \text{при } Ri_c \leq 0.2 \quad C_2 &= 1.92. \end{aligned}$$

Уравнения движения — эллиптического типа, поэтому граничные условия для каждого из уравнений должны задаваться на всех границах. На твердых границах устанавливается условие прилипания [8, 9]

$$V = 0, \quad k = 0, \quad \varepsilon = 2\nu \left(\frac{\partial k^{1/2}}{\partial n} \right)^2.$$

На входе (рис. 1б) задается вектор скорости $V = V_0$. Для установления значения кинетической энергии турбулентных пульсаций k и переноса скорости диссипации турбулентной энергии ε на входной границе используются следующие значения $k = k_0 = 10^{-4} V_0^2$ и $\varepsilon = \varepsilon_0 = k^{3/2} / \ell$ ($\ell = 0.05 D_0$ — линейный масштаб турбулентности), средняя интенсивность турбулентности $I = 5\%$.

При высоких числах Рейнольдса распределения величин в вязком подслое подчинены «закону стенки» [9] (его адекватность для случая криволинейной поверхности подтверждается экспериментальными данными [4]). В этом случае вблизи стенки предполагается существование области, где профиль скорости соответствует логарифмическому закону:

$$\begin{aligned} u^+ &= \frac{U}{u_\tau} = \frac{1}{\kappa} \ln(E n^+), \\ n^+ &= \frac{\rho u_\tau n}{\mu}, \end{aligned}$$

n^+ — безразмерное расстояние от твердой границы, $u_\tau = (\tau_w / \rho)^{1/2}$ — «скорость трения», $\kappa = 0.41$ — постоянная Вон Кармана, E — параметр шероховатости (для гладкой стенки $E = 9.0$ [4]).

Распределение кинетической энергии и скорости диссипации вблизи твердой границы так же задано согласно «закону стенки» [4, 9]:

$$k = \frac{u_\tau^2}{\sqrt{C_\mu}}, \quad \varepsilon = \frac{u_\tau^3}{\kappa n}.$$

На выходе ($z = L$) из канала задаются условия свободного выхода [4, 9]: для всех функций $\partial/\partial n = 0$ и значение давления: $P = P_1$.

Безразмерные переменные вводятся следующим образом:

$$\begin{aligned} \frac{x_i}{D_0} &= x'_i, \quad \frac{V_i}{V_0^*} = V'_i, \quad \frac{P}{\rho V_0^{*2}} = P', \\ \frac{k}{k_0} &= k', \quad \frac{\varepsilon}{\varepsilon_0} = \varepsilon' \end{aligned} \quad (6)$$

где $V_0^* = \frac{m \tilde{s} V_0}{S_0}$, $m = 6$ — количество подводящих каналов, \tilde{s} — площадь поперечного сечения подводящего канала, S_0 — площадь поперечного сечения канала.

С учетом (6) система дифференциальных уравнений (1), (2), (4), (5), и граничные условия примут вид:

$$\begin{aligned} \operatorname{div}(V_1 V') &= - \frac{\partial P'}{\partial x'_1} + \operatorname{div} \left(\left(\frac{1}{\operatorname{Re}} + \frac{1}{\operatorname{Re}_t} \right) \operatorname{grad} V'_1 \right), \\ \operatorname{div}(V_2 V') &= - \frac{\partial P'}{\partial x'_2} + \operatorname{div} \left(\left(\frac{1}{\operatorname{Re}} + \frac{1}{\operatorname{Re}_t} \right) \operatorname{grad} V'_2 \right), \quad (7) \\ \operatorname{div}(V_3 V') &= - \frac{\partial P'}{\partial x'_3} + \operatorname{div} \left(\left(\frac{1}{\operatorname{Re}} + \frac{1}{\operatorname{Re}_t} \right) \operatorname{grad} V'_3 \right), \\ \operatorname{div} V' &= 0, \quad (8) \end{aligned}$$

$$\begin{aligned} \operatorname{div}(k' V') &= \operatorname{div} \left(\left(\frac{1}{\operatorname{Re}} + \frac{1}{\operatorname{Re}_k} \right) \operatorname{grad} k' \right) + \\ &+ 2G_1 E'_{ij} \cdot E'_{ij} - G_1 \varepsilon', \quad (9) \end{aligned}$$

$$\begin{aligned} \operatorname{div}(\varepsilon' V') &= \operatorname{div} \left(\left(\frac{1}{\operatorname{Re}} + \frac{1}{\operatorname{Re}_\varepsilon} \right) \operatorname{grad} \varepsilon' \right) + \\ &+ C_1 \frac{\varepsilon'}{k'} 2G_1 E'_{ij} \cdot E'_{ij} - C_2 G_1 \frac{\varepsilon'^2}{k'}, \quad (10) \end{aligned}$$

где $E'_{ij} = \frac{1}{2} \left(\frac{\partial V'_i}{\partial x'_j} + \frac{\partial V'_j}{\partial x'_i} \right)$, $E'_{ii} = \frac{\partial V'_i}{\partial x'_i}$; $G_1 = \frac{v_t V_0^*}{D_0 k_0}$,

$G_2 = \frac{\varepsilon_0 D_0}{k_0 V_0^*}$; $\operatorname{Re} \frac{V_0^* D_0}{\nu}$ — число Рейнольдса,

$\operatorname{Re}_t \frac{V_0^* D_0}{v_t}$, $\operatorname{Re}_k = \frac{V_0^* D_0}{v_k}$, $\operatorname{Re}_\varepsilon = \frac{V_0^* D_0}{v_\varepsilon}$, $v_t = \mu_t / \rho$,

$v_k = \nu + v_t / \sigma_k$; $v_\varepsilon = \nu + v_t / \sigma_\varepsilon$; n — единичная нормаль к поверхности.

Граничные условия записываются в виде:

— на входе в подводящие каналы вектор скорости, ортогональный поверхности входа, $V' = V_0 / V_0^*$ и значения $k' = 1$, $\varepsilon = 1$;

— на стенке условия прилипания: $V' = 0$, $k' = 0$, $\varepsilon' = 2\nu (\partial k'^{1/2} / \partial n) k_0 / \varepsilon_0$;

— на выходе ($z' = L / D_0$) условия свободного выхода: для всех функций $\partial / \partial n = 0$ и давление $P = P_1 / (\rho V_0^{*2})$.

Параметром, характеризующим вращение, является угол закрутки потока ϕ , который определяется как угол между касательной к траектории частицы и образующей канала, характеризует степень отклонения линии тока от осевого направления [4]. Тангенс угла закрутки является функцией продольной координаты

$$\operatorname{tg} \phi = s(z) = \frac{\sqrt{V_x^2 + V_y^2}}{V_z}. \quad (11)$$

В результате приведения к безразмерному виду выделен безразмерный комплекс — число Рейнольда Re . Для рассматриваемых смесительных устройств число Рейнольда изменяется в диапазоне $6.559 \cdot 10^4 \leq Re \leq 3.771 \cdot 10^6$.

Для построения дискретной модели задачи используется метод контрольных объемов [9]. Построена сетка $12 \times 94 \times 135$ ($r \times \theta \times z$). Выполнено измельчение вблизи твердых границ.

Уравнения (7) — (10) имеют одинаковую структуру и могут быть представлены в общем виде

$$\operatorname{div}(\phi V) = a_\phi \frac{\partial P}{\partial x_j} + \operatorname{div}(b_\phi \operatorname{grad} \phi) + c_\phi. \quad (12)$$

Величины a_ϕ , b_ϕ , c_ϕ приведены в табл. 1 для каждой из рассматриваемых зависимых переменных. (12) дискретизируются и решаются с привлечением пакета инженерного анализа. В программе выбрана Advection Scheme с High Resolution, применяется разностная схема QUICK. Для получения уравнения коррекции давления используется уравнение неразрывности в соответствии с алгоритмом SIMPLER [9]. Линеаризованные уравнения решаются методом Algebraic Multigrid [9].

Таблица 1

Выражения для a_ϕ , b_ϕ , c_ϕ в уравнении (12)

| ϕ | a_ϕ | b_ϕ | c_ϕ |
|---------------|-------------|-----------------|--|
| 1 | 0 | 0 | 0 |
| V_i | $-1 / \rho$ | $v + v_t$ | 0 |
| k | 0 | v_k | $1 / \rho M_k - \varepsilon$ |
| ε | 0 | v_ε | $C_1 / \rho \varepsilon / k M_k - C_2 \varepsilon^2 / k$ |

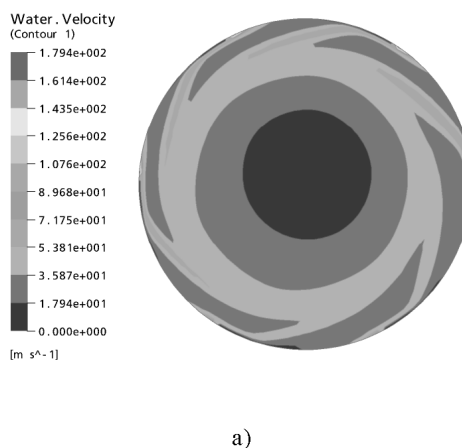
Слагаемое $M_k = 2\mu_t E_{ij} \cdot E_{ij}$ определяет производство турбулентной энергии.

В результате численного эксперимента получены распределения безразмерных скоростей, давлений, турбулентной кинетической энергии

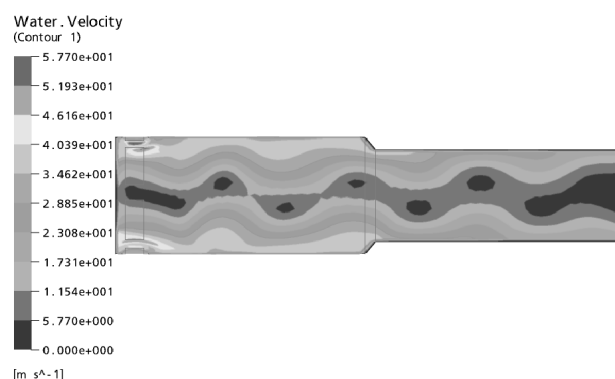
и скорости ее диссипации. В качестве рабочей среды использовались вода ($P_1 = 30$ атм, $T = 293$ К, $6.559 \cdot 10^4 \leq Re \leq 1.128 \cdot 10^5$) и жидкий кислород ($P_1 = 62.03$ и 102.2 атм, $T = 110$ К, $2.355 \cdot 10^6 \leq Re \leq 3.771 \cdot 10^6$).

На рис. 2 показано распределение скорости в сечении $z = 0.17D_0$ и по длине канала для $Re = 6.559 \cdot 10^4$. Вблизи центральной оси канала вследствие действия центробежных сил образуется зона с пониженными скоростями. Увеличение числа Re приводит к увеличению этой зоны на участке канала от сужения ($z = 2.3D_0$) до выходного сечения.

По данным моделирования безразмерная продольная скорость V'_z возрастает по длине канала до $z = 2.3D_0$, затем остается практически постоянной, число Re не оказывает влияния на V'_z в заданном диапазоне. Во всех рассмотренных случаях наблюдается рост продольной скорости по радиусу канала, максимальные значения достигаются вблизи стенки.



а)

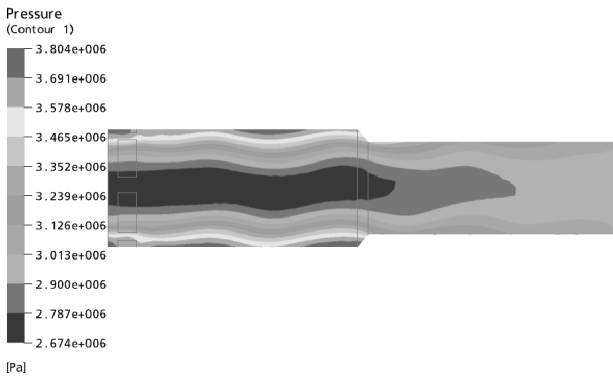


б)

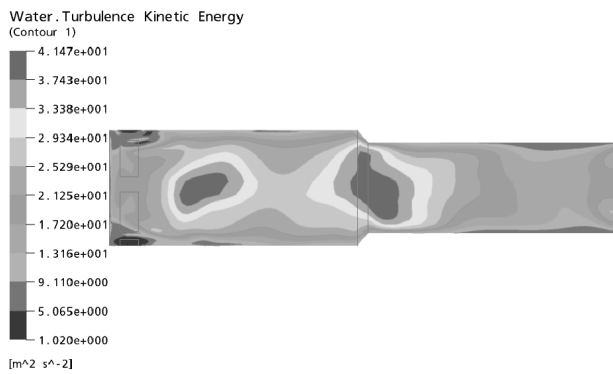
Рис. 2. Распределение общей скорости: а — в поперечном сечении канала $z = 0.17D_0$; б — по длине канала для $Re = 6.559 \cdot 10^4$

Согласно полученным данным, наибольшее искривление линий тока наблюдается в первой половине канала, что характеризует область наиболее интенсивного смешивания.

Давление достигает наиболее высоких значений на стенках начального участка длиной $2.3D_0$ и снижается по направлению к оси (рис. 3а). Увеличение скорости подачи среды приводит к уменьшению длины зоны пониженного давления и увеличению перепада давления по радиусу в сечении от 13 до 68 % в рассмотренном диапазоне чисел Re. Наибольшие потери давления происходят на начальном участке длиной $2.3D_0$. Увеличение Re способствует снижению P' по всей длине канала.



а)



б)

Рис. 3. Распределение а — давления, б — турбулентной кинетической энергии по длине канала. $Re = 6.559 \cdot 10^4$

Распределение турбулентной кинетической энергии k в продольном сечении канала показано на рис. 3б. При $Re = 3.771 \cdot 10^6$ максимальные значения k расположены в центральной части участка $z = 0.5 - 1.6D_0$. Снижение Re приводит к формированию в канале двух зон с

максимальными значениями k — на расстоянии $z \approx 1D_0$ от входа и в области сужения.

Наибольшие значения кинетической энергии $k' = k / \rho V_0^{*2}$ по радиусу канала расположены на оси и монотонно убывают по направлению к стенке. Высокая интенсивность турбулентности в центральной области канала показана также в ряде исследований. Для $Re = 6.559 \cdot 10^4$ k' возрастает на начальном участке длиной $2.3D_0$ и достигает наибольших значений в сужении, при $Re = 1.128 \cdot 10^5$ k' убывает по всей длине канала.

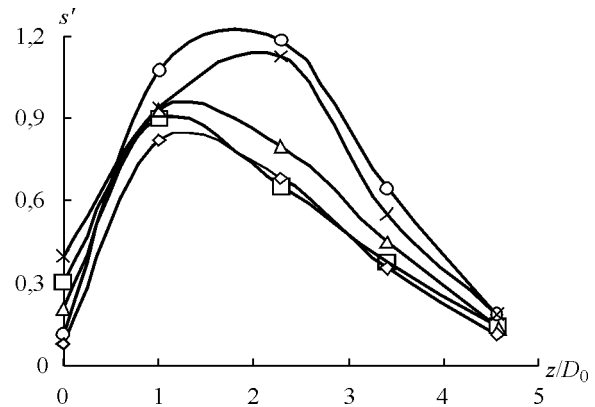


Рис. 4. Распределение относительной интенсивности закрутки s' по длине канала. о — $Re = 6.559 \cdot 10^4$, х — $9.283 \cdot 10^4$, \diamond — $1.128 \cdot 10^5$, \square — $2.355 \cdot 10^6$, Δ — $3.771 \cdot 10^6$

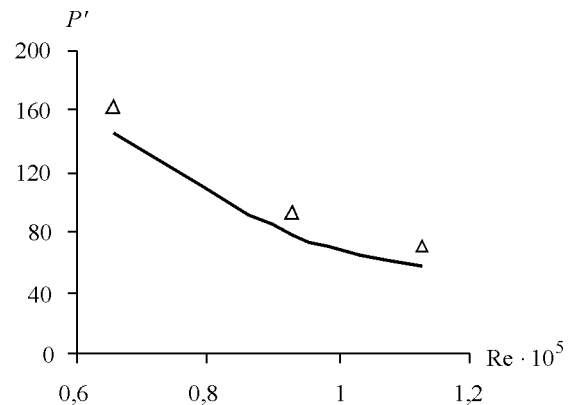


Рис. 5. Сравнение значений безразмерного давления на входе в канал, полученные в результате моделирования, с экспериментальными данными (Δ)

На рис. 4 показано изменение относительной интенсивности закрутки $s' = \sqrt{V_x^2 + V_y^2} / V_0^*$ по длине канала. Для $Re = 6.559 \cdot 10^4$, $9.283 \cdot 10^4$ s' возрастает и достигает максимума в сужения канала ($z = 2.3D_0$), затем закрутка монотонно убывает. Подобное поведение тангенциальной составляющей скорости закрученного потока в

трубе отмечено в [10]. С увеличением Re максимум s' смещается к входу и достигается на более близком расстоянии $z \approx 1 - 1.3D_0$. Увеличение Re приводит к снижению s' по длине канала.

Проведено сравнение результатов расчета давления на входе в канал с экспериментальными данными, полученными в ходе испытаний на стендах КБХА для воды (рис. 5). Погрешность результатов моделирования закрученного потока составила в среднем 15 %.

В работе представлена математическая модель вращающегося турбулентного потока в гидросистеме с боковым подводом среды. Результаты расчета показали, что модель адекватно описывает рассматриваемый тип течения. Установлены особенности распределения характеристик закрученного течения. Безразмерная продольная скорость V'_z возрастает по длине канала и достигает максимальных значений в сужении, на оставшемся участке остается практически постоянной, число Re в рассмотренном диапазоне не оказывает влияния на V'_z . В поперечных сечениях V'_z возрастает по направлению к стенкам. Безразмерная скорость V' монотонно убывает по длине канала. Наиболее значительные потери давления p' в гидросистеме происходят на начальном участке длиной $2.3D_0$. Кинетическая энергия k' принимает наибольшие значения на оси канала и монотонно убывает по направлению к стенке, увеличение Re приводит к общему росту k' и смещению максимума от области сужения к входным отверстиям канала. Относительная интенсивность закрутки s' возрастает в первой половине канала, где располагается зона интенсивного смешивания, затем монотонно убывает. Максимум s' с увеличением Re смещается от сужения к области подачи среды. Полученные

закономерности могут применяться для оптимизации работы смесительных устройств.

СПИСОК ЛИТЕРАТУРЫ

1. Шужин В.К., Халатов А.А. Теплообмен, массообмен и гидродинамика закрученных потоков в осесимметричных каналах. М.: Машиностроение, 1982. — 200 с.
2. Pashtrapanska M., Jovanovic J., Leinhart H., Durst F. Turbulence measurements in a swirling pipe flow. // Exp. Fluids, 2006. — Vol. 41. — P. 813—827.
3. Кубо И., Гоулдин Ф. Численный расчет закрученного турбулентного течения. // Конференция ASME-CSME, 1975. — С. 127—133.
4. Третьяков В.В., Ягодкин В.И. Расчетное исследование турбулентного закрученного течения в трубе. // ИФЖ, 1979. — Т. 37, № 2. — С. 254—259.
5. Herrada M.A., Perez-Saborid M., Barrero A. Nonparallel local spatial stability analysis of pipe entrance swirling flow. // Phys. Fluids, 2004. — Vol. 16, № 7. — P. 2147—2153.
6. Митрофанова О.В. Гидродинамика и теплоперенос в закрученных потоках в каналах с завихрителями (Аналитический обзор). // Теплофиз. высок. темпер., 2003. — Т. 41, № 4. — С. 508—560.
7. Фафурин В.А. Моделирование вращающихся и рециркуляционных потоков на основе гибридной двухпараметрической k - ϵ модели. // ИФЖ, 2002. — Т. 75, № 1. — С. 76—81.
8. Ландау Л.Д., Лифшиц Е.М. Теоретическая физика: Учебное пособие в 10 т. Т. VI. Гидродинамика. — М.: Физматлит, 2003. — 736 с.
9. Versteeg H.K., Malalasekera W. An introduction to computational fluid dynamics. The finite volume method. — Longman Scientific & Technical, 1995. — 257 pp.
10. Шнайдерман М.Ф., Ершов А.И. О влиянии закрутки потока на распределение скоростей и температур в круглой трубе. // ИФЖ, 1975. — Т. 28, № 4. — С. 630—635.

Поступила в редакцию 27.12.2006